

화상 회의 영상의 특성을 이용한 H.263 화상 부호화기의 움직임 검색 속도 개선¹

이수의, 장주목

서강대학교 전자 공학과

Enhancement in Motion Search Processing Speed of H.263 Encoder by exploiting the characteristic of video conferencing image

Soo-Ick Lee Ju-wook Jang

Dept. of Electronic Engineering, Sogang Univ.

요약

설시간 인터넷 화상 회의 시스템을 위한 H.263 동화상 부호화 소프트웨어의 처리 속도를 개선하는 기법을 개발하였다. 회상 회의 영상의 특성과 H.263 프로토콜의 구조를 분석하여 데이터의 압축률이나 화질에 미치는 영향을 최소화하면서 처리 시간을 크게 단축하는 기법을 개발하였다. 처리 속도의 개선을 위해서 움직임 조기 검출 기법을 개발, 적용하므로서 압축률과 화질에 미치는 영향을 최소화하면서 계산량을 크게 줄이도록 하였다.

1. 서론

본 연구에서는 인터넷상의 개인용 컴퓨터 시스템에서 H.263이 가지는 높은 압축률을 유지하면서 자연스러운 화상 회의가 가능한 처리 속도를 가지는 부호화기 구축을 위한 기법들을 제안하였다. 이러한 기법들은 H.263 부호화 프로토콜의 구조상 가장 많은 시간을 필요로 하는 움직임 검출 과정에 대해 회상 회의 영상 데이터의 통계적 특성을 고려하여 화질과 압축률에 미치는 영향을 최소화하면서 처리 시간을 크게 단축하도록 한 것이다. 처리 속도의 개선을 위해서 배경 인식이나 움직임 조기 검출 기법 등을 개발, 적용하므로서 압축률에 미치는 영향을 최소화하면서 계산량을 크게 줄이도록 하였다. 펜타엄급 PC에서 다양한 특성을 가진 벤치마크 동화상들에 대해 실험한 결과 기존의 Telenor 동화상 부호화 소프트웨어에 비해 처리 속도가 크게 향상됨을 보였다.

2. H.263 화상 부호화기의 구조

그림 1은 H.263 화상 부호화기의 구조를 보인 것이다. H.263은 그림 1과 같이 MC(Motion Compensation)과 DCT(Discrete Cosine Transform)을 기반으로 영상의 시간적 공간적 중복(Redundancy)을 제거하므로서 정보 표현을 위한 데이터량을 감소시키도록 해준다.

H.263의 이러한 데이터 압축은 16X16의 매크로 블록과 8X8의 블록을 기반으로 하게 되며, 16X16 매크로 블록은 시간적 중복을 고려한 움직임 벡터 검출 연산의 기본 단위가 되며, 8x8 블록은 공간적 중복을 고려한 DCT 연산의 기본 단위가 된다.

3. 화상 회의 영상 데이터의 특성

화상 회의 영상 데이터의 특성으로 경성적으로 고찰되는 첫 번째 특징은 화상 회의의 특성상 화상의 상당 부분이 배경 부분으로서 연속되는 프레임상에서 거의 변화가 없다는 점을 들수 있다. 두 번째로 움직이는 고사체의 경우는 적은 수의 물체가 한 두가지 방향으로 움직이는 경우가 대부분이라는 것이다. 이러한 특성을 정량적으로 고찰하기 위

해 몇 가지 벤치마크 동화상 샘플에 대한 실험을 실시하였다. 고려된 동화상 샘플로서는 앞서 기술한 화상 회의 영상의 특성을 매우 잘 반영한 것과 실험의 완전성에 대한 고려를 하기 위해 다소 그리한 성격이 떠어난 것들에 대한 실험을 하였다.

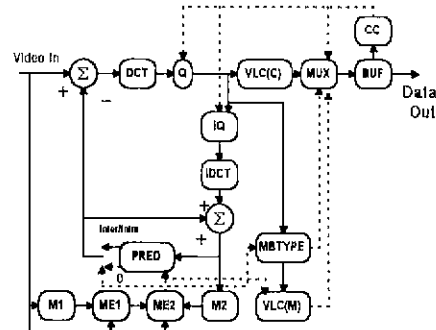


그림 1 H.263 부호화기의 구조

첫 번째로 고려한 동화상인 CLAIRE 샘플은 여자 아나운서가 일반적인 화상 회의의 양식대로 입술과 머리 부분 등을 주기적으로 움직이는 것으로서 배경은 단색으로 약간의 조명 변화를 제외하고는 거의 변화가 없는 것이다. 두 번째로 고려한 CARPHONE 샘플은 남자가 움직이는 차안에서 회상 친화를 하고 있는 동화상으로 오른쪽의 창문을 통해 풍경이 차가 움직이는 반대 방향으로 상당히 빠르게 움직이는 특징을 가진 것이다. 세 번째로 고려한 FOREMAN 샘플은 남자가 성당히 동적으로 움직이는 동시에 카메라가 같이 움직여서 배경이 지속적으로 변하는 동화상으로 카메라가 90도 이상 전환되는 부분도 포함되어 있다.

실험은 각각의 샘플 동화상을 Telenor H.263 부호화기로 부호화 했을 때 나타나는 움직임 예측 블록의 실제 움직임 벡터의 차의 분포를 조사하는 방법으로 이루어졌다. 각각의 샘플은 176X144의 해상도를 가지는 QCIF 형식의 300프레

¹ 본 연구는 정보통신부 국책 기술 개발 사업의 지원을 받았음(98-56).

임색으로 이루어져 있다.



그림 2 벤치마크 동화상 샘플

그림 3에서 실증의 결과를 보였다. 실험 결과에서 가장 주목되는 특성은 움직임 예측 벡터와 실제 벡터와의 차이가 전혀 없은 매크로 블록이 상당한 부분을 차지한다는 것 이다 특히 화상회의 전향적 특성을 가지는 CLAIRE 영상 샘플의 경우는 90% 이상이 이에 해당함을 알수 있다 이러한 결과는 주변 움직임 벡터를 참조하여 예측되어지는 움직임 예측 벡터가 실제 움직임 벡터와 정확히 일치하는 경우가 상당히 많다는 것을 의미한다. 이 것은 특히 화상 회의 영상 데이터처럼 배경이 상당 부분을 차지하고, 움직이는 피사체가 한 두 개의 방향으로만 움직이는 경우에 현저하게 적용됨을 알수 있다.

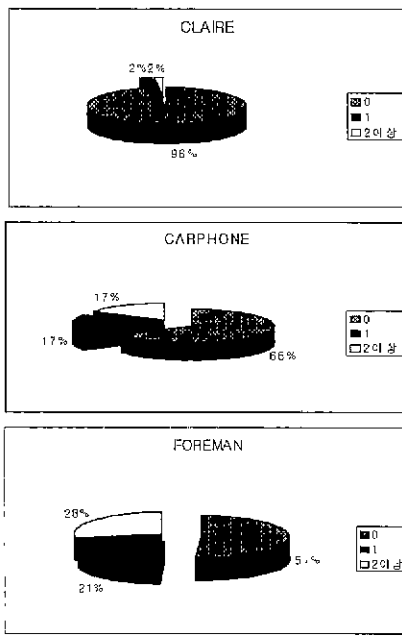


그림 3 각 동화상 샘플의 움직임 예측 오류 분포

4. 움직임 검색 속도의 계산

H.263 부호화기에서 움직임 예측에 소요되는 시간이 다른 부분보다 상대적으로 상당히 큰 부분을 차지하고 있다 이 것은 기본에 구현된 H.263 부호화기가 움직임 예측의 정확도를 최대화하기 위해 전역 탐색 기법을 사용하고 있기 때문이다 전역 탐색 방법을 사용할 경우 검색 영역 전체에 대해 SAD(Sum of Absolute Difference)들을 모두 계산해야 하므로 움직임 벡터 하나를 계산하는데 상당한 계산량을 요구하게 된다. 그러나 이러한 SAD 값의 통계적 분포를 고려하면 이러한 계산 과정을 제거할 여지가 있음을 알수 있다. 그림 4에 일반적인 움직임 벡터 검색시의 SAD 값 분포를 보았다.

SAD 값의 분포를 보면 최적합점을 중심으로 산 모양 (SAD 값의 빈전 분포)을 하고 있음을 알수 있다. 이러한 분포는 다소 예외적인 경우도 있고 산모양에 물파동이 또

형되는 경우가 많다 그러나 많은 경우에 이와 비슷한 분포를 가지고 있음이 알려져 있다.

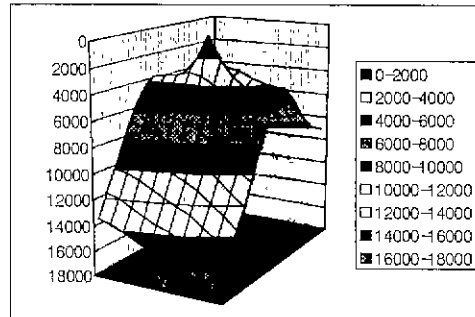


그림 4 움직임 벡터 검색시 SAD값(반전)의 일반적인 분포

이러한 통계적 특성을 고려하여 SAD 값 연산의 횟수를 대폭 줄인 기법으로 3 단계 검색(Three Step Algorithm)이 있다. 이 알고리즘은 최초에는 저해상도에서 검색을 하다가 차차로 고해상도 검색을 해나가는 방법으로 앞서의 통계적 특성이 일치하는 경우 정확한 움직임 벡터를 찾으면서도 SAD 계산 횟수는 같은 검색 영역을 가지는 전역 검색에 비해 90% 정도의 감축을 가져오게 된다. 그러나 통계적 특성과 다소 다른 특성을 가지는 검색 영역에 대해서는 최적합점을 조금 떨어진 점을 찾을수 있으나, 비슷한 원리의 다른 알고리즘들에 비해 우수한 성능을 나타낸다.

3 단계 움직임 탐색 알고리즘은 효과적으로 움직임 검색 과정의 계산량을 감소시키도록 해주지만 화상 속의 영상 데이터의 특성을 고려하지는 않았으므로 기본의 여지가 있음을 알수 있다 31절의 실험 결과에서도 알수있듯이 화상 회의 영상 데이터의 주목되는 특징은 주변의 매크로 블록으로부터 예측된 움직임 벡터와 실제 움직임 벡터가 일치하는 비율이 아주 높다는 것이다. 따라서 이러한 예측 벡터와 실제 벡터가 일치하는 매크로 블록을 적은 편의 계산에 의해 찾을 수 있다면 상당부분의 계산량을 줄일수 있다.

이처럼 예측된 벡터와 실제 움직임 벡터가 일치하는 매크로 블록을 탐지하여 3단계 움직임 검색 방법을 개선하기 위해서 디롭과 같은 방법을 적용하였다.

i) 예측된 벡터에 해당하는 SAD(Sum of Absolute Difference)값을 구한다.

ii) 예측된 벡터 주위의 8개의 광셀에 대한 SAD 값을 구한다.

iii) i)에서 구한 SAD 값이 주위의 8개 광셀에 대한 SAD 값보다 적을 때 이 예측된 벡터가 실제 벡터와 일치하는 것으로 진단한다.

iv) iii)의 경우가 아닌 경우는 다시 3 단계 탐색 알고리즘을 적용하여 이미 계산된 부분의 SAD 값은 다시 계산하지 않는다.

이 알고리즘을 적용한 경우에 한 매크로 블록의 움직임 벡터를 검색할 때 나타나는 각각의 경우의 벡터들의 SAD 계산량은 다음과 같이 나타난다.

i) 예측 벡터와 실제 벡터의 차가 1내인 경우 : 9

ii) 예측 벡터와 실제 벡터의 차가 1내인 경우 : 25

iii) 예측 벡터와 실제 벡터의 차가 2 이상인 경우 : 33

iv)의 경우는 3단계 검색 기법보다 더 많은 계산량을 필요로 하지만 이를 3절의 화상 회의 영상 데이터의 통계적 특성을 고려하면 우수한 결과를 가짐을 알수있다.

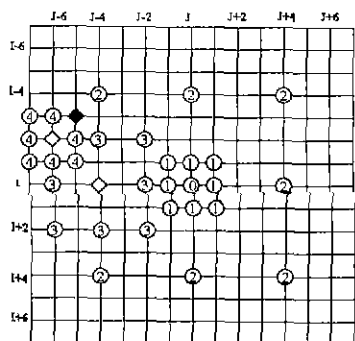


그림 5 개선된 3단계 탐색 기법

그림 6부터 8은 각각의 검색 기법을 적용했을 때 축소화 SAD 합수 호출 횟수와 부호화한 후 다시 복호화한 영상의 신호대 잡음비(SNR), 그리고 최종 데이터량을 비교한 것이다.

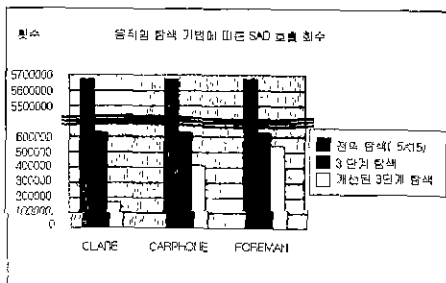


그림 6 검색 알고리즘에 따른 SAD 호출 횟수 비교

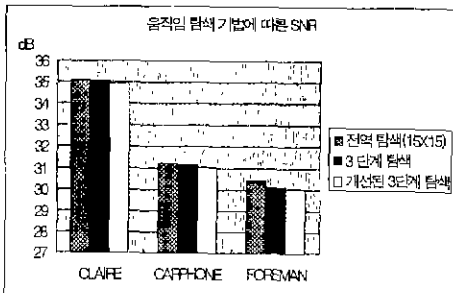


그림 7 검색 알고리즘에 따른 SAD 호출 횟수 비교

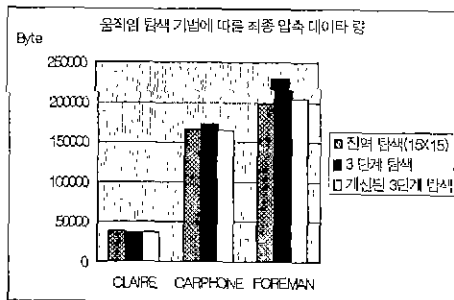


그림 8 각 검색 알고리즘에 따른 최종 데이터량 비교

주목되는 점은 개선된 3단계 탐색 알고리즘을 적용한 경

우에 그림 6과 같이 화상 회의 성격을 잘 반영한 CLAIRE 영상에서 3단계 탐색 알고리즘에 의해 처리 속도가 뚜렷이 향상되며, 다소 벗어난 영상들에 대해서도 항상 효과를 보인 것이다. 또한 움직임 백터 검색의 정확도의 지표인 평균 압축 비율의 경우에도 개선된 3단계 탐색이 3단계 탐색에 비해 전역 탐색의 결과와 더 가까움을 볼 수 있다. 이것은 제안된 개선된 3단계 탐색 기법이 입력 영상의 통제적 특성을 고려하여 확률이 높은 부분의 검색 횟수를 늘렸기 때문에 더 정확한 움직임 백터를 찾을 수 있다는 것을 의미한다.

따라서 개선된 3단계 탐색은 화상회의를 위한 시스템에서 우수한 성능을 발휘할 것이라는 것을 알 수 있다.

5. 결론 및 추후 과제

본 연구에서는 화상회의 시스템 구축을 위해 H.263 영상 부호화기를 적용할 때 문제가 될 수 있는 처리 속도에 대한 개선 기법을 제안하고, 이를 실험을 통해 검증하였다.

제안된 움직임 검색 기법은 화상 회의 영상 입력 데이터의 통계적 특성을 고려하여 화질이나 압축률에 미치는 영향을 최소화하면서 제거 가능한 연산 과정을 적용적으로 감소화함으로서 기존의 3단계 검색 기법보다 우수한 결과를 보였다.

이러한 기법들의 도입의 결과 기정 많은 부분을 차지하는 움직임 예측 부분이 대폭 감소되는 대신 다른 요소들의 처리 시간이 상대적으로 증가하는 결과를 가지았다. 이러한 부분들에 포함되는 것은 DCT나 양자화 및 검색 영역의 처리를 위한 데이터 이동 루틴이나 복호화된 영상의 재부호화 과정등이 포함된다. 개인용 컴퓨터도 각종 작업이 기본적으로 지원되고 있는 추세이므로 처리 속도는 더욱 빨라질수록 원활한 작업 환경의 제공이 가능하므로 추후 과제로서 이러한 부분의 처리 속도 개선이 요구된다. 또한 움직임 예측 과정에도 어셈블리를 적용하여 더욱 성능을 개선하면 좀더 다양한 환경에서 자연스러운 화상 회의가 가능해질 것이다.

6. 참고 문헌

- [1] ITU-T Recommendation H.263 (1996) "VIDEO CODING FOR LOW BITRATE COMMUNICATION"
- [2] A. Yu, R. Lee, and M. Flynn, "Performance Enhancement of H.263 Encoder Based On Zero Coefficient Prediction" ACM MULTIMEDIA 97 The Fifth ACM International Multimedia Conference
- [3] T. Koga et al, "Motion compensated interframe coding for video conferencing," NTC '81, National Telecommun Conf, pp G5.3.1-G5.3.5, New Orleans, LA, Nov-Dec 1981.
- [4] R. Steinmetz, "Data Compression in Multimedia Computing - Standard and Systems," *Multimedia Systems*, Vol 1, 1994, pp.187-204
- [5] R. Arvid et. al., "Image and Video Coding Standards," AT&T Technical Journal, Jan/Feb.1998, pp.51-88